

## ΕΡΜΗΝΕΙΑ ΤΗΣ ΠΟΡΕΙΑΣ ΜΕΤΑΜΟΡΦΩΣΗΣ ΤΗΣ ΚΑΤΩΤΕΡΗΣ ΚΑΙ ΑΝΩΤΕΡΗΣ ΤΕΚΤΟΝΙΚΗΣ ΕΝΟΤΗΤΑΣ ΤΗΣ ΡΟΔΟΠΗΣ. ΟΜΟΙΟΤΗΤΕΣ ΚΑΙ ΔΙΑΦΟΡΕΣ

Ε. Μπόσκος

### ΣΥΝΟΨΗ

Οι δύο τεκτονικές ενότητες της Ροδόπης παρουσιάζουν σαφείς διαφορές σε ότι αφορά την αλπική τεκτονομεταμορφική τους εξέλιξη. Η κατώτερη τεκτονική ενότητα ακολούθησε μία πορεία βύθισης, με μέση αύξηση της θερμοκρασίας κατά  $11,5^{\circ}\text{C}/\text{Km}$ . Η πορεία ανάδυσης, από το μέγιστο βάθος των  $\approx 53$  Km μέχρι τα  $\approx 14$  Km, ήταν περίπου ισόθερμη και συνοδεύονταν από αντιδράσεις κυρίως αφυδάτωσης. Η ανώτερη τεκτονική ενότητα, κατά το στάδιο της μεταμόρφωσης των υψηλών πιέσεων ακολούθησε μία πορεία βύθισης, με μέση αύξηση της θερμοκρασίας κατά  $15,5^{\circ}\text{C}/\text{Km}$ . Η πορεία ανάδυσης χαρακτηρίζεται από συνεχή ψύξη, με διαφορετικούς ρυθμούς, κατά περιόδους και συνοδεύονταν κυρίως από αντιδράσεις ενυδάτωσης. Στην ανατολική Ροδόπη, η μεταμόρφωση των υψηλών πιέσεων της A.T.E., έλαβε χώρα στο Κατώτερο Κρητιδικό, ενώ εκείνη των μεσαίων πιέσεων στο Παλαιόκαϊνο. Πιθανώς, στο στάδιο αυτό κάτω από την A.T.E. βυθίστηκε η K.T.E., η οποία εμφανίζεται τώρα υπό μορφή τεκτονικού παραθύρου.

### ABSTRACT

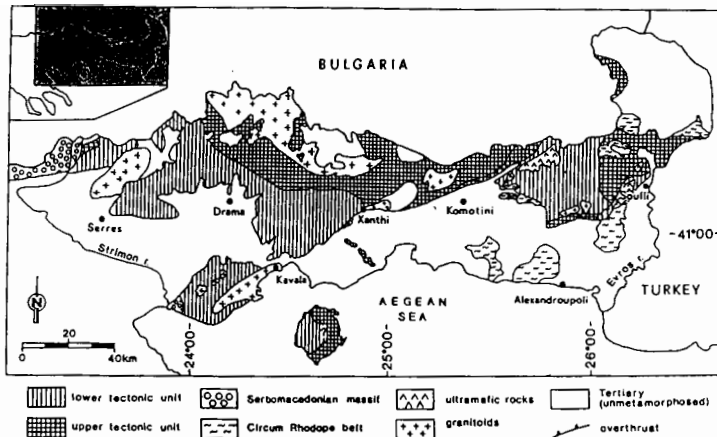
The two tectonic units recognized in Rhodope zone, show obvious differences in their Alpine tectonometamorphic evolution. The lower tectonic was subducted following a path with a mean temperature increase of  $11.5^{\circ}\text{C}/\text{Km}$ . The uplift path was isothermal from a maximum depth of  $\approx 53$  Km up to  $\approx 14$  Km, and was accompanied by dehydration reactions. The upper tectonic unit was subducted following a path with a mean temperature increase of  $15.5^{\circ}\text{C}/\text{Km}$ . The uplift path is characterized by continuous cooling, with various cooling rates for different periods, and was accompanied mainly by hydration reactions. In Eastern Rhodope the high pressure metamorphism of the U.T.U. took place in the Lower Cretaceous, while that of the medium pressure in Paleocene. It is possible that during Paleocene the L.T.U. was subducted under the U.T.U. The L.T.U. occurs now as a tectonic window.

### ΕΙΣΑΓΩΓΗ - INTRODUCTION

Νεότερες γεωλογικές και πετρολογικές έρευνες απέδειξαν ότι, η Ροδόπη, η οποία εθεωρείτο παλαιότερα ως ένας κρατονικός πυρήνας, συμμετείχε στην αλπική ορογένεση, όπως τεκμηριώνεται από μεταμορφικά επεισόδια και καλυμματική τεκτονική, αλπικής ηλικίας (Liati 1986, Del Moro et al., 1990, Arnaudov et al. 1990, Celet et Clement 1991, Wawzenitz et al. 1992, Ivanov 1988, Burg et al. 1990, Koukouvelas and Doutsos 1990, Kiliias and Mountrakis 1990, Mposkos 1989c, Liati and Mposkos 1990, Mposkos and Liati 1993, Παπανικολάου, 1993).

\* National Technical University of Athens, Section of Geological Sciences.

Ψηφιακή Βιβλιοθήκη "Θεόφραστος" - Τμήμα Γεωλογίας. Α.Π.Θ.



**Σχ.1:** Απλοποιημένος γεωλογικός χάρτης του ελληνικού τμήματος της Ροδόπης, με τις δύο τεκτονικές ενότητες.

**Fig.1:** Simplified geological map of the Greek Rhodope showing the two tectonic units.

τρώματα, (της τάξεως των  $150^{\circ}\text{C}$ ), για το επεισόδιο των μεσαίων πιέσεων, οδήγησαν στη διάκριση δύο, κύριων τεκτονικών ενοτήτων, μιας κατώτερης με συνθήκες μεταμόρφωσης ανώτερης πρασινοσχιστολιθικής - κατώτερης αμφιβολιτικής φάσης και μιας ανώτερης, με συνθήκες μέσης έως ανώτερης αμφιβολιτικής φάσης (Mposkos and Liati 1993, Fig.1).

Κατά τη μεταμόρφωση των υψηλών πιέσεων οι συνθήκες P-T που επικράτησαν στην κατώτερη τεκτονική ενότητα (K.T.E.) εκτιμήθηκαν σε  $14\text{-}15\text{ Kbar}$  και  $550\text{-}600^{\circ}\text{C}$  (Mposkos 1989c, Liati and Mposkos, 1990) και στην ανώτερη τεκτονική ενότητα (A.T.E.) σε  $13,5\text{-}16\text{ Kbar}$  και  $750\text{-}775^{\circ}\text{C}$  (Μπόσκος κ.ά. 1994).

Από τα στοιχεία αυτά προκύπτει ότι, η K.T.E., ακολούθησε μια πορεία βύθισης, με μέση αύξηση της θερμοκρασίας κατά  $11,5^{\circ}\text{C/Km}$ , ενώ η πορεία βύθισης της A.T.E. δίνει μια μέση αύξηση της θερμοκρασίας κατά  $15,5^{\circ}\text{C/Km}$ .

Τίθεται επομένως το ερώτημα, κατά πόσο οι δύο τεκτονικές ενότητες της Ροδόπης έχουν κοινή μεταμορφική ιστορία και κοινή γεωδυναμική εξέλιξη ή αποτελούν δυο ενότητες που ακολούθησαν διαφορετική τεκτονομεταμορφική εξέλιξη, σε διαφορετικές γεωλογικές περιόδους. Η απάντηση στο ερώτημα αυτό απαιτεί, το συνδιασμό δεδομένων από την τεκτονική γεωλογία, την ισοτοπική γεωχημεία και την πετρολογία.

Στην εργασία αυτή θα προσπαθήσουμε να δώσουμε μια απάντηση στο παραπάνω ερώτημα, συγκρίνοντας τη μεταμορφική εξέλιξη των δύο τεκτονικών ενοτήτων με βάση τα πετρολογικά κυρίως δεδομένα, σε συνδιασμό με νεότερα γεωχρονολογικά στοιχεία.

#### ΓΕΩΛΟΓΙΚΗ ΤΟΠΟΘΕΤΗΣΗ-ΛΙΘΟΛΟΓΙΕΣ - GEOLOGICAL SETTING-LITHOLOGIES

Στο σχήμα 1 δίδονται σε απλοποιημένο γεωλογικό χάρτη οι δύο τεκτονικές ενότητες της Ροδόπης. Η K.T.E. στην ανατολική Ροδόπη αποτελείται κυρίως από προαλπικά μιγματιτιωμένους γνεύσιους (Mposkos and Wawzenitz, 1995), ορθογνεύσιους (γρανιτογνεύσιους), πηλιτικούς γνεύσιους και πλούσιους σε αργίλιο μεταπλήτες, με παρεμβολές αμφιβολιτών και αμφιβολούχων εκλογιτών (amphibole-eclogites). Μεγάλα υπερμαφικά σώματα, όπως εκείνα της Σμιγάδας - Εσωχής και του Σουφλίου, συνοδευόμενα από μεταβασίτες, παρεμβάλλονται στις λιθολογίες της. Στη δυτική Ροδόπη, ορθογνεύσιοι αποτελούν τους κατώτερους λιθολογικούς

πετρολογικές έρευνες στο Ελληνικό τμήμα της Ροδόπης απεκάλυψαν ότι, η Ροδόπη επηρεάστηκε από τρία διαδοχικά κύρια μεταμορφικά επεισόδια: μεταμόρφωση υψηλών πιέσεων, μεσαίων πιέσεων και ανάδρομη μεταμόρφωση κατώτερης πρασινοσχιστολιθικής φάσης, χαμηλών πιέσεων (Mposkos 1989a, Liati and Mposkos 1990, Mposkos and Liati 1993). Σημαντικές διαφορές στο βαθμό μεταμόρφωσης σε άμεσα γειτνιάζοντα πε-

σχηματισμούς, με υπερκείμενους χαλαζιο-αστριούχους γνεύσιους (παραγνεύσιους) και μεταπλήτες, οι οποίοι, μέσω μιας σειράς εναλλαγών μαρμαρυγιακών σχιστολίθων-μαρμάρων, που φέρουν παρεμβολές αμφιβολιτών (σχετικά σπάνιοι), μεταβαίνουν στην ανώτερη λιθολογική ενότητα των μαρμάρων (μάρμαρα Φαλακρού).

Η A.T.E. αποτελείται από ορθογνεύσιους, συχνά μιγματιτιωμένους, παραγνεύσιους και μεταπλήτες, μιγματιτιωμένους επίσης κατά περιοχές, με παρεμβολές μερικά αμφιβολιτιωμένων εκλογιτών, αμφιβολιτών και μαρμάρων. Υπερμαφικά σώματα, μικρών σχετικά διαστάσεων, παρεμβάλλονται στους μεταπλήτες και παραγνεύσιους. Στην ανατολική Ροδόπη εμφανίζονται, επί πλέον, μεγάλης έκτασης στρωματόμορφα μεταγαββρικά και οξινότερα μεταμορφωμένα πλούτωντα πετρώματα. Πηγατίτες, κυρίως μοσχοβιτικοί, διαπερνούν όλες τις λιθολογίες της A.T.E. Σε μεταδιορίτες και μεταγάββρους, οι πηγματίτες έχουν συχνά τροντγιεμιτική σύσταση.

#### ΠΕΤΡΟΛΟΓΙΚΑ ΔΕΔΟΜΕΝΑ ΤΗΣ ΚΑΤΩΤΕΡΗΣ ΤΕΚΤΟΝΙΚΗΣ ΕΝΟΤΗΤΑΣ - PETROLOGICAL DATA FROM THE LOWER TECTONIC UNIT

Τα τελευταία χρόνια, συστηματική μελέτη των μεταμορφωμένων πετρωμάτων της Ροδόπης έδειξε ότι, η K.T.E. συμπεριελήφθηκε σε ένα μεταμορφικό κύκλο αλπικής ηλικίας (Mposkos 1989a,b,c, Mposkos and Liati 1993, Mposkos et al. 1990, Liati and Mposkos 1990), όπως δείχνουν τα γεωχρονολογικά στοιχεία (Del Moro et al. 1989, Celet et Clement, 1991). Ο κύκλος αυτός περιλαμβάνει μεταμόρφωση υψηλών πιέσεων, η οποία ακολουθήθηκε από μεταμόρφωση μεσαίων πιέσεων και στη συνέχεια ανάδρομη μεταμόρφωση χαμηλών πιέσεων. Η μεταμόρφωση των υψηλών πιέσεων συνδέεται με ένα μηχανισμό υποβύθισης (subduction), ενώ τα επακόλουθα στάδια, με την αναπροσαρμογή των παραγενέσεων των λιθολογιών της K.T.E. σε χαμηλότερες πιέσεις, κατά την πορεία ανάδυσης. Πληροφορίες για τη μεταμορφική εξέλιξη της K.T.E. παρέχουν οι μεταβασίτες, οι γνεύσιοι και οι μεταπλήτες. Ορυκτολογικές παραγενέσεις και χαρακτηριστικές αντιδράσεις, που τεκμηριώνουν τα διάφορα στάδια της μεταμορφικής της εξέλιξης, δίδονται στον Πίνακα 1.

#### A: Μεταμόρφωση υψηλών πιέσεων

Η μεταμόρφωση των υψηλών πιέσεων τεκμηριώνεται με την παρουσία αμφιβολούχων εκλογιτών στην ανατολική Ροδόπη (Mposkos and Perdikatsis 1987, Mposkos 1989b, Liati and Mposkos 1990), με ορυκτά εκλογιτικής φάσης γρανάτη, ομφακίτη ( $j_{35-55}$ ) ίκυανίτη, Na-ούχο τρεμολίτη- κεροστίλβη, φεγγιτικό μοσχοβίτη, κλινοζοϊσίτη, ρουτίλιο, (Πίν.1). Το μέγιστο της μεταμόρφωσης των υψηλών πιέσεων ήταν έξω από το πεδίο σταθερότητας του γλαυκοφανή (Carman and Gilbert 1983), δεδομένου ότι οι αμφίβολοι που συνυπάρχουν με ομφακίτη, είναι κυρίως Ca-ούχοι αμφίβολοι, πλούσιοι σε Na, με  $Na_2O$  που κυμαίνεται μεταξύ 3.2 και 4.6%.

Στους γνεύσιους, η μεταμόρφωση των υψηλών πιέσεων τεκμηριώνεται τόσο στην ανατολική όσο και στη δυτική Ροδόπη με την παραγένεση: φεγγίτης ( $Si=6.9-7$  για 22 οξυγόνα) -αλβίτης-μικροκλινής±βιοτίτης-χαλαζίας-κλινοζοϊσίτης±γρανάτης και στους μεταπλήτες με την παραγένεση: φεγγίτης ( $Si=6.65-6.85$ ) -γρανάτης-χλωριτοειδής-χλωρίτης±κυανίτης±παραγονίτης-χαλαζίας-ρουτίλιο (Πίν.1).

Οι συνθήκες P-T που επικράτησαν κατά την μεταμόρφωση των υψηλών πιέσεων εκτιμήθηκαν στην ανατολική Ροδόπη σε 14-15Kbar και 550-600°C (Mposkos 1989c, Liati and Mposkos 1990) και στη δυτική σε ≈12 Kbar και ≈520°C.

#### B: Μεταμόρφωση μεσαίων πιέσεων

Η πορεία ανάδυσης της K.T.E. στο στάδιο που χαρακτηρίζει τη μεταμόρφωση των μεσαίων πιέσεων, συνοδεύεται από πλήθος αντιδράσεων αφυδάτωσης. Οι αντιδράσεις  $Ctd+Phen \rightarrow St+Chl+Ms+Qtz+H_2O$ ,  $Ctd+Ms+Qtz \rightarrow St+Bi+H_2O$ ,  $Grt+Chl+Ms \rightarrow St+Bt+H_2O$  (Πίν.1), που διαπιστώθηκαν στους μεταπλήτες (Mposkos 1989, Mposkos

**Πίν. 1:** Ορυκτολογικές παραγενέσεις και κρίσιμες αντιδράσεις, που χαρακτηρίζουν τη μεταμόρφωση υψηλών πιέσεων και την πορεία ανάδυσης της κατώτερης τεκτονικής ενότητας της Ροδόπης.

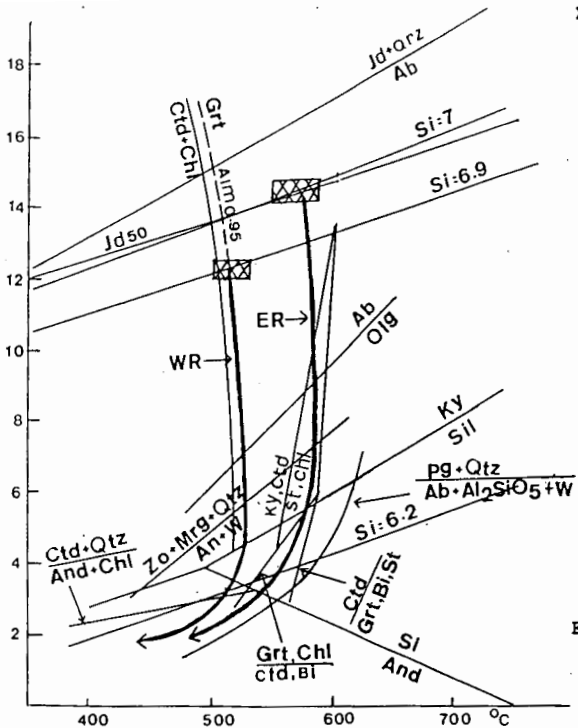
**Table 1:** Mineral parageneses and critical reactions, characterizing the high pressure metamorphism and uplift path of the lower tectonic unit in Rhodope.

Μεταμόρφωση υψηλών πιέσεων	Μεταμόρφωση μεσαίων πιέσεων	Ανάδρομη μεταμόρφωση χαμηλών πιέσεων
Μεταμηλίτες Ανατολικής Ροδόπης		
Grt-Cld-Chl±Ky- Phen (Si=6.85)±Pg-Qtz-Rt	St-Chl <sub>2</sub> -Bi-Ms (Si=6.3-6.1) Cld+Phen → St+Chl+Ms+Qtz+H <sub>2</sub> O, Cld+Ms+Qtz → St+Bi+H <sub>2</sub> O, Grt+Chl+Ms → St+Bi+H <sub>2</sub> O	And-Chl <sub>3</sub> -Ms (σερικίτης) Cld+Qtz → And+Chl+H <sub>2</sub> O
Μεταμηλίτες Δυτικής Ροδόπης		
Grt-Cld-Chl-Qtz±Pg- Phen (Si=6.65)-Rt±Ilm	Bi, Ms (Si=6.3 - 6.15)	
Ορθογεύσιοι Ανατολικής και Δυτικής Ροδόπης		
E.R. Qtz-Ab-Kfs-Phen <sub>1</sub> (Si=7.0)± Bi <sub>1</sub> -Czo±Grt W.R. Qtz-Ab-Kfs-Phen <sub>1</sub> (Si=6.9)± Bi-Czo	Phen <sub>2</sub> (Si=6.5 - 6.2)-Bi <sub>2</sub> -Pl (An <sub>11-17</sub> )-Kfs Phen <sub>1</sub> → Phen <sub>2</sub> +Bi+Kfs+Qtz+H <sub>2</sub> O	
Εκλογίτες Ανατολικής Ροδόπης		
Grt-Cpx (Jd <sub>30-55</sub> )-Tr-Hbl± Gln-Czo±Ky-Phen-Rt-Qtz	συμπλεκτίτες Cpx (Jd <sub>15</sub> )-Ab, Tr/Hbl-Ab/Pl-An (14-18) Cpx core (Jd <sub>31</sub> ) → Cpx rim (Jd <sub>16</sub> ), Bi <sub>1</sub> -Pl (An <sub>15</sub> ) Na-Tr → Hbl, πλούσια σε Na Hbl → φυσικότερη σε Na Hbl	Grt → Chl+Bi <sub>2</sub> Hbl → Act
Αμφιβολίτες Ανατολικής Ροδόπης		
Tr-Hbl-Ab-Chl-Czo-Qtz± Phen±Pg±Grt±Mrg (Pg <sub>30</sub> )-Rt	Hbl-Pl (An <sub>22-33</sub> )-±An±Spn Tr → Hbl, Ab → Pl (An <sub>22-33</sub> ), Mrg (Pg <sub>30</sub> )+Czo+Qtz → Pl (An <sub>83-96</sub> )+H <sub>2</sub> O	Grt → Chl+Czo Hbl → Act
Αμφιβολίτες Δυτικής Ροδόπης		
Tr-Ab-Chl-Czo±Grt± Phen-Qtz-Rt	Hbl-Pl (An <sub>17-32</sub> )-Spn Tr → Hbl, Ab/An <sub>2-8</sub> → Pl (An <sub>17-32</sub> )	

Συμβολισμοί ορυκτών κατά Kretz (1983). Επιπλέον Phen = φεγγίτης.  
Symbols for minerals after Kretz (1983). In addition Phen = phengite.

and Liati 1993), καθορίζουν την πορεία ανάδυσης από τη μέγιστη τιμή των 14-15Kbar μέχρι τα 4 Kbar. Κατά την πορεία αυτή, η θερμοκρασία παρέμεινε σταθερή ή παρουσίασε μικρή αύξηση, (Σχήμα 2) (βλέπε επίσης Mposkos 1989c, Fig.7 και Mposkos and Liati 1993 Fig.11A), υποδηλώνοντας γρήγορο ρυθμό ανάδυσης. Στους γνεύσιους η πορεία ανάδυσης εκφράζεται κατεξοχήν με τη σταδιακή ελάττωση του σελαδονιτικού μορίου στο φεγγίτη, η οποία τεκμηριώνεται αντίδραση αφυδάτωσης phen<sub>1</sub> → phen<sub>2</sub>+Bi+Kfs+Qtz+H<sub>2</sub>O (Πίν.1).

Στους μεταβασίτες (εκλογίτες, γρανατούχους αμφιβολίτες και κοινούς αμφιβολίτες), στο στάδιο των μεσαίων πιέσεων έλαβαν χώρα, επίσης, πλήθος αντιδράσεων, πολλές από τις οποίες αποτελούν αντιδράσεις αφυδάτωσης. Στους εκλογίτες, κλινοπυρόξενοι με ζωνώδη σύσταση παρουσιάζουν σταδιακή ελάττωση του ιαδεϊτικού μορίου από το κέντρο προς την άκρη (Jd<sub>31</sub> κέντρο, Jd<sub>16</sub> άκρη) (Mposkos and Perdikatsis 1987). Συμπλεκτίτες διοψιδίου (Jd<sub>15</sub>)-αλβίτη, ακτινόλιθος-αλβίτη, τεκμηριώνουν το πρώτο στάδιο ανάδυσης, ενώ συμπλεκτίτες βιοτίτη-ολιγοκλάστου (An<sub>15</sub>) σε ψευδομόρφωση κατά φεγγίτη και ακτινόλιθος/κεροστίλβης-ολιγοκλάστου (An<sub>14-18</sub>), σχηματίσθηκαν σε πιέσεις χαμηλότερες των 9Kbar (Σχ.2). Σε όλους τους τύπους των μεταβασιτών, διαπιστώθηκαν αμφιβολοί με ζωνώδη σύσταση, με κέντρο Na-ούχου τρεμολίτη και εξωτερική ζώνη μαγνησιούχου κεροστίλβης/τεσμονικής κεροστίλβης (Mposkos 1989b, 1991). Πιθανά, η ζώνωση αυτή δείχνει μικρή αύξηση της θερμοκρασίας κατά το στάδιο ανάδυσης. Σε γρανατούχους αμφιβολίτες της ανατολικής Ροδόπης, Ca-ούχα πλαγιοκλαστα (An<sub>83-96</sub>), τα οποία αντικατέστησαν ψευδομορφικά πλούσιο σε Na μαργαρίτη και συνυπάρχουν με ολιγόκλαστο, σχηματίσθηκαν σύμφωνα με την αντίδραση Czo+Mrg (Pg<sub>0.30</sub>)+Qtz → Pl (An<sub>83-96</sub>) +H<sub>2</sub>O, σε πιέσεις χαμηλότερες των 7Kbar (Σχ.2). Η παρουσία του παραγονίτη σε μεταπλίτες και αμφιβολίτες, δείχνει ότι η πορεία ανάδυσης δεν ξεπέρασε τις συνθήκες της



**Σχ. 2:** Συνθήκες P-T της μεταμόρφωσης υψηλών πιέσεων και πορεία ανάδυσης της κατώτερης τεκτονικής ενότητας της Ροδόπης. Ισοσυστασιακές καμπύλες  $Si=7$ , 6.9 και 6.2 από Massonne and Schreyer (1987), οι καμπύλες  $Ab \rightarrow Jd+Qtz$  και  $Jd_{50}$  από Gasparik and Lindsley (1981),  $Ab/Ol$  από Muruyama et al. (1983),  $Ky.Ctd \rightarrow St.Chl$ ,  $Grt.Chl \rightarrow Ctd.Bi$ ,  $Ctd \rightarrow St.Grt.Chl$  και  $Ctd \rightarrow Grt.Bi.St$  από Vuichard and Ballevre (1988),  $Ctd+Qtz \rightarrow And+Chl$  από Mposkos and Liati (1993),  $Zo+Mrg+Qtz \rightarrow An+H_2O$  από Chatterjee et al. (1984),  $Pg+Qtz \rightarrow Ab+Al_2SiO_5+H_2O$  από Chatterjee (1972). Ορια φάσεων  $Al_2SiO_5$  από Brohnen et al. (1991). W.R. = Πορεία ανάδυσης δυτικής, E.R. ανατολικής Ροδόπης.

**Fig.2:** P-T conditions of the high-pressure metamorphism and uplift path of the lower tectonic unit from Rhodope.  $Si=7$ , 6.9 and 6.2 isopleths are from Massonne and Schreyer (1987);

P-T conditions of the high-pressure metamorphism and uplift path of the lower tectonic unit from Rhodope.  $Si=7$ , 6.9 and 6.2 isopleths are from Massonne and Schreyer (1987);

the curves  $Ab \rightarrow Jd+Qtz$  and  $Jd_{50}$  from Gasparik and Lindsley (1981);  $Ab/Ol$  boundary from Muruyama et al. (1983); the curves  $Ky.Ctd \rightarrow St.Chl$ ,  $Grt.Chl \rightarrow Ctd.Bi$ ,  $Ctd \rightarrow St.Grt.Chl$  and  $Ctd \rightarrow Grt.Bi.St$  are from Vuichard and Ballevre (1988);  $Ctd+Qtz \rightarrow And+Chl$  after Mposkos and Liati (1993);  $Zo+Mrg+Qtz \rightarrow An+H_2O$  after Chatterjee et al. (1984);  $Pg+Qtz \rightarrow Ab+Al_2SiO_5+H_2O$  after Chatterjee (1972). The triple point of the aluminosilicates is from Brohnen et al. (1991). W.R. = Uplift path of western, E.R. eastern Rhodope.

αντίδρασης  $Pg+Qtz \rightarrow Ab+Al_2SiO_5+H_2O$  (Σχ.2).

### Γ: Ανάδρομη μεταμόρφωση

Η ανάδρομη μεταμόρφωση επηρέασε, εν μέρει, όλους τους τύπους των λιθολογιών και τεκμηριώνεται στους μεταβασίτες, με την αντικατάσταση του γρανάτη από χλωρίτη+επίδοτο, χλωρίτη+πράσινο βιοτίτη και της κεροστίλβης από ακτινόλιθο και χλωρίτη. Στους μεταπλαίτες, τεκμηριώνεται με την αντικατάσταση του χλωριτοειδή από ανδαλουσίτη+χλωρίτη (Mposkos and Liati 1993), (Σχ. 2).

### ΠΕΤΡΟΛΟΓΙΚΑ ΔΕΔΟΜΕΝΑ ΤΗΣ ΑΝΩΤΕΡΗΣ ΤΕΚΤΟΝΙΚΗΣ ΕΝΟΤΗΤΑΣ PETROLOGICAL DATA FROM THE UPPER TECTONIC UNIT

#### A: Μεταμόρφωση υψηλών πιέσεων

Στην A.T.E. η μεταμόρφωση υψηλών πιέσεων τεκμηριώνεται με την παρουσία μερικώς αμφιβολιτιωμένων εκλογιτών, σπινελιούχων γρανατούχων μεταγάββρων και γρανατούχων μεταπεριδοτιτών. Μερικώς αμφιβολιτιωμένοι εκλογίτες, με εκλογιτικής φάσης παραγένεση: γρανάτης- κλινοπυρόξενος ( $Jd_{25}$ ) -χαλαζίας - κλινοζοϊσίτης -ρουτίλιο (Πιν.2), εντοπίσθηκαν στην ανατολική (Mposkos and Perdikatsis 1987), κεντρική (Liati 1986) και δυτική Ροδόπη (Mposkos et al.

Ψηφιακή Βιβλιοθήκη "Θεόφραστος" - Τμήμα Γεωλογίας. Α.Π.Θ.

**Πίν. 2:** Ορυκτολογικές παραγενέσεις και κρίσιμες αντιδράσεις που χαρακτηρίζουν τη μεταμόρφωση υψηλών πιέσεων και την πορεία ανάδυσης της ανώτερης τεκτονικής ενότητας της Ροδόπης

**Table 2:** Mineral parageneses and critical reactions, characterizing the high pressure metamorphism and uplift path of the upper tectonic unit in Rhodope.

Μεταμόρφωση υψηλών πιέσεων	Μεταμόρφωση μεσαίων πιέσεων	Μεταμόρφωση χαμηλών πιέσεων
Μεταμόρφωση Ανατολικής και Δυτικής Ροδόπης		
Grt-Ky1-Bi1-Ms1-Qtz-Rt±Pl	St-Chl-Ms2-Qtz, Ky2-Bi2-Pl-An(20-31) Grt+Ky+H2O → St+Qtz, Grt+H2O → St+Chl Ky1 → Ms2, Grt+Ms1 → Ky2+Bi2, Grt+Ms+Pl (<An) → Bi+Pl (>An) Grt+Ky+Qtz+Pl (<An) → Pl (>An)	Ms3-Bi3-And St → Ms, Ky → Ms Grt+Ms → Bi, Ky → And
Μεταμόρφωση Κεντρικής Ροδόπης		
Grt-Ky1-Bi1-Ms1-Qtz-Rt	St-Bi2-Ms2-Sil, Ky2-Bi2-Pl-An(20-30) Ky+Bi-H2O → St+Ms+Qtz, Grt+Ms+H2O → St+Bi+Qtz Grt+Ms → Ky+Bi, Grt+Ms → Bi+Sil+Qtz St+Ms+Qtz → Sil+Bi+H2O, Grt+Ky+Qtz+Pl (<An) → Pl (>An) Op-Beyrovitούσιοι: Qtz+Pl+Kfs+Phen (Si=6.6 - 6.2)±Bi+CzotGrt (Grs50-Alm50) Czo+Kfs+H2O → Grt+Ms+Qtz	Ms3-Bi3 St → Ms Ky → Ms Grt+Ms → Bi
Ανατολικά νεοσύμματα γρανατικής - τρουντιλεμικής σύστασης Ανατ. Ροδόπης		
Grt-Pl (An29-34)-Qtz-Ms-Pg-Czo-Ab/Pl (An3-15) - (Kfs) Pl (An30)+Kfs+H2O → Czo+Ms+Pg+Qtz+Pl (An15) Εκλογίτες		
Μεταμόρφωση Ανατολικής Ροδόπης		
Grt-Cpx1 (Jd20-25)-Czo-Qtz-Rt	Cpx1-Hbl1-Pl (An26-36)-Hbl1-Czo Cpx → σταδιακή ελάττωση Ms μέχρι Cpx (Jd9) Grt+Cpx1+H2O → Hbl1+Pl	Hbl1 → Act
Επινελιούχοι-γρανατούχοι μετασύδρυτοι Ανατολικής Ροδόπης		
Opx1-Cpx1-Spl1-Ol1±Grt Opx1-Cpx1-Ol1-Chl An+Ol+Opx → Grt (Grs13-15PrP62 Alm22Spa1)+Cpx	Hbl1-Ol2-Opx2-Cpx2-Spl3, Tr-Ol2-Chl-Spl3, Tr-Chl-Tlc-Spl3, Ol2-Tr-Chl-Tlc-Atg-Spl3, Ol2-Tlc-Opx-Spl3 Grt+Ol → Opx+Cpx+Spl2, Cpx+Opx+Spl+H2O → Hbl1+Ol, Opx+Cpx+H2O → Tr+Ol, Opx+H2O → Tlc+Ol, Tlc+Ol+H2O → Atg	Chl2-Tlc-Mag
Grt+Cpx+Spl+Hbl1+Il An+Ol → Grt+Cpx+Spl		Chl-Dsp-Prh-Tr-Czo Grt+Spl+H2O→Chl+Prh+Dsp

1990). Οι Mposkos and Perdikatsis (1987), εκτίμησαν τις θερμοκρασίες του εκλογιτικού σταδίου σε 735-765°C και τις ελάχιστες πιέσεις μεταξύ 12-14,5 Kbar. Θερμοκρασίες 750-775°C και πιέσεις μεταξύ 13,5-16 Kbar εκτιμήθηκαν για το ίδιο στάδιο σε σπινελιούχους-γρανατούχους μεταγάβθρους με παραγένεση: γρανάτης-κλινοπυρόξενος-σπινέλιος-κεροστίλβη και σε γρανατούχους μεταπεριδοτίτες με παραγένεση: γρανάτης (Grs13-15PrP58-66Alm21-29Spa0.4-1.6)-κλινοπυρόξενος-ορθοπυρόξενος-ολιβίνης (Fo0.9)-Cr-ούχος σπινέλιος (Πίν.2) (Μπόσκος κ.ά. 1994). Θερμοκρασίες 780°C και πιέσεις 20 Kbar αναφέρονται από τους Kolceva et al. (1986), για κυανιτούχους εκλογίτες της περιοχής Ardino, του Βουλγαρικού τμήματος της κεντρικής Ροδόπης (βλέπε και Lati and Mposkos 1990). Πιθανά, η περιοχή του Ardino αντιπροσωπεύει τμήμα της ανώτερης τεκτονικής ενότητας, που βυθίστηκε περισσότερο, σε σχέση με εκείνο του Ελληνικού τμήματος, της ανατολικής Ροδόπης. Είναι όμως εξίσου πιθανόν, κατά το στάδιο που σχηματίσθηκε ο κυανίτης, ο οποίος συνυπάρχει με ομφακίτη (Jd50), στους εκλογίτες του Ardino, το  $\alpha$ H2O να ήταν μικρότερο της μονάδας, με αποτέλεσμα, η αντίδραση Pg → Jd50+Ky να έλαβε χώρα σε χαμηλότερες πιέσεις. Η άποψη αυτή ενισχύεται και από το γεγονός ότι, οι εκλογίτες του Ardino εμφανίζονται ως μικρά φακοειδή σώματα σε μιγματιτιωμένους γνεύσιους, στους οποίους η μερική τήξη πρέπει να έλαβε χώρα πριν από το σχηματισμό του κυανίτη στον εκλογίτη, (σύγκρινε την καμπύλη έναρξης της τήξης γρανάτης-κυανίτης-βιοτίτης, η οποία είναι σταθερή σε πιέσεις μεγαλύτερες των 8 Kbar και θερμοκρασίες μεγαλύτερες των 650°C (Vuichard and Ballervre 1988), (Σχ.3), μειώνοντας πιθανά, την ενεργότητα του νερού στο άμεσα περιβάλλον πέτρωμα.

Στους μεταπλίτες δεν αναγνωρίσθηκαν κρίσιμα ορυκτά της μεταμόρφωσης των υψηλών πιέσεων. Είναι όμως ευρύτατα διαδεδομένη η παραγένεση γρανάτης-κυανίτης-βιοτίτης, η οποία είναι σταθερή σε πιέσεις μεγαλύτερες των 8 Kbar και θερμοκρασίες μεγαλύτερες των 650°C (Vuichard and Ballervre 1988), (Σχ.3),

καμπύλες αντιδράσεων 4, 6 και 7). Η παραγένεση αυτή μπορεί να θεωρηθεί, παρόλο που δεν είναι κρίσιμη, ως παραγένεση του εκλογιτικού σταδίου. Η απουσία παραγονίτη και η παρουσία κυανίτη+πλαγιοκλάστου, δείχνουν επίσης ότι οι συνθήκες της μεταμόρφωσης των υψηλών πιέσεων ήταν υψηλότερες από εκείνες που καθορίζονται από την αντίδραση  $Pg+Qtz \rightarrow Ab+Ky$  (Σχ.3, καμπύλη 8).

Κατά τη μεταμόρφωση των υψηλών πιέσεων οι συνθήκες P-T ξεπέρασαν τις συνθήκες αρχικής τήξης, τόσο του γρανίτη όσο και εκείνες του τροντγιεμίτη (Σχ.3, καμπύλες 9 και 10). Πράγματι αρκετές λιθολογίες της A.T.E. (γνεύσιοι, μεταπηλίτες, μεταδιορίτες), έχουν υποστεί μερική τήξη, σχηματίζοντας μιγματίτες, με νεοσώματα γρανιτικής και τροντγιεμιτικής σύστασης. Η μιγματιτώση δεν πρέπει να ήταν ιδιαίτερα έντονη, δεδομένου ότι οι συνθήκες P-T δεν υπερέβησαν εκείνες της αντίδρασης ξηράς τήξης,  $Ms+Pl+Qtz \rightarrow Bi+Kfs+Al_2SiO_5 + L$  (Thompson, 1982) (Σχ.3), η οποία θα προμήθευε ικανές ποσότητες νερού, για τη συνέχιση της ανάτηξης. Φεγγιτικός μοσχοβίτης, αποτελεί κύρια ορυκτολογική φάση των γνευσίων και μεταπηλιτών (Πίν.2).

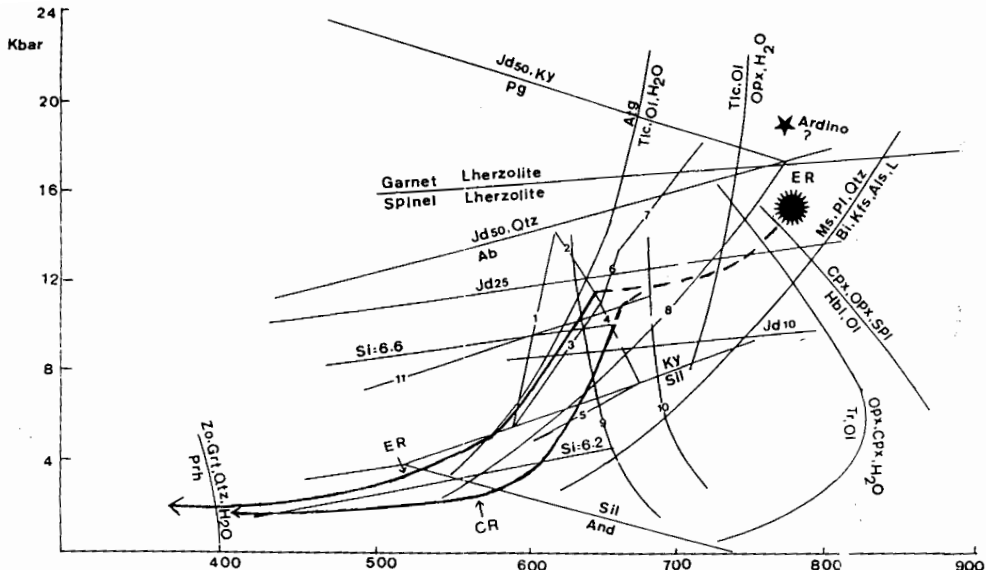
## B: Μεταμόρφωση μεσαίων πιέσεων

Σε αντίθεση με την κατώτερη τεκτονική ενότητα, στην οποία η αποσυμπίεση συνοδεύεται κυρίως από αντιδράσεις αφυδάτωσης, στην ανώτερη τεκτονική ενότητα, η αποσυμπίεση συνοδεύεται από πλήθος αντιδράσεων ενυδάτωσης, οι οποίες φαίνεται ότι έλαβαν χώρα και με ταυτόχρονη σταδιακή ελάττωση της θερμοκρασίας. Στους μεταπεριδοτίτες, για παράδειγμα, έλαβαν χώρα αντιδράσεις ενυδάτωσης όπως:  $Cpx+Opx+Spl+H_2O \rightarrow Hbl + Ol$ ,  $Grt+Cpx+Opx+H_2O \rightarrow Hbl + Ol$ ,  $Opx+Cpx+H_2O \rightarrow Tr+Ol$ ,  $Opx+H_2O \rightarrow Tlc+Ol$ ,  $Ol+Tlc+H_2O \rightarrow Atg$ , (Σχ.3), (βλέπε επίσης Mposkos κ.ά., 1994). Στους εκλογίτες έλαβε χώρα σταδιακή αντικατάσταση του γρανάτη και κλινοπυρόξενου, στα πρώτα στάδια από κελυφιτική κεροστίλβη και πλαγιόκλαστο (Απ26-36), ή ποικιλιτική κεροστίλβη. Η αμφιβολιτώση του σταδίου αυτού έλαβε χώρα με ελάττωση της πίεσης, όπως τεκμηριώνεται από τους κλινοπυρόξενους με ζωνώδη σύσταση, στους οποίους ελάττωνεται το ποσοστό του λαδείτη από το κέντρο (Jd23-25) προς την άκρη (Jd21-16) και από το σχηματισμό συμπλεκτιτών κλινοπυρόξενου (Jd9-10)-πλαγιοκλάστου (Απ27-37) (Mposkos and Perdikatsis 1987, Liati and Mposkos 1991). Σε προχωρημένο βαθμό αμφιβολίτες, εξαφανίζεται πλήρως ο κλινοπυρόξενος, οπότε σχηματίζονται, ανάλογα με την αρχική σύσταση του πετρώματος, γρανατούχοι αμφιβολίτες ή κοινοί αμφιβολίτες, με μόνη υπολειμματική φάση του εκλογιτικού σταδίου, όσον αφορά τους τελευταίους, το ρουτίλιο.

Κρίσιμες παραγενέσεις, που καθορίζουν την πορεία ανάδυσης από το βάθος των ≈35 Km μέχρι ≈14 Km, διαπιστώθηκαν σε μεταπηλίτες, μιγματίτες με νεοσώματα γρανιτικής και τροντγιεμιτικής σύστασης και σε τροντγιεμιτικής σύστασης πηγματίτες.

Στους μεταπηλίτες η πορεία ανάδυσης τεκμηριώνεται από πλήθος αντιδράσεων ενυδάτωσης (Πίν.2) (για λεπτομέρειες βλέπε Mposkos and Liati 1993). Στην ανατολική Ροδόπη, η πορεία ανάδυσης πέρασε από το πεδίο σταθερότητας της παραγένεσης γρανάτη-σταυρόλιθου-χλωρίτη, ενώ στην κεντρική Ροδόπη από τα υψηλοτέρων θερμοκρασιών πεδία σταυρόλιθου-κυανίτη-βιοτίτη και γρανάτη-σιλλιμανίτη-βιοτίτη (Σχ.3). Σε όλες τις περιοχές της A.T.E. οι γρανάτες των μεταπηλιτών παρουσιάζουν ανάστροφη ζώνωση, με ελάττωση του  $MgO$  και αύξηση του  $FeO$  και  $MnO$  από το κέντρο προς την άκρη (Mposkos 1989a, Mposkos and Liati 1993), γεγονός που τεκμηριώνει την ελάττωση της θερμοκρασίας (Tracy 1982) κατά την πορεία της ανάδυσης.

Στην ανατολική Ροδόπη, λευκοσώματα μιγματιτών τροντγιεμιτικής σύστασης, αποτελούνται από πλαγιόκλαστο (Απ29-34)-χαλαζία/γρανάτη-κλινοζοϊσίτη-παραγονίτη-μοσχοβίτη-ρουτίλιο. Τα πλαγιόκλαστα παρουσιάζουν συχνά κανονική ζώνω-



**Ex. 3:** Συνθήκες P-T της μεταμόρφωσης υψηλών πιέσεων και πορεία ανάδυσης της ανώτερης τεκτονικής ενότητας της Ροδόπης. Οριό Spinel Lherzolite → Garnet Lherzolite από O'Neill (1981), καμπύλες Pg → Jd<sub>50</sub>+Ky από Holland (1979), Ms+Pl +Qtz → Bi+Kfs+Als+L από Thompson (1982), Prh → Zo+Grt+Qtz+H<sub>2</sub>O από Liou (1971), Cpx+Opx+Spl → Hbl+Ol, Opx+Cpx+H<sub>2</sub>O → Tr+Ol, Opx+H<sub>2</sub>O → Tlc+Ol και Tlc+Ol+H<sub>2</sub>O → Atg από Jenkins (1981). Οι αριθμοί 1-11 αντιπροσωπεύουν τις καμπύλες: 1 = Ctd → St+Grt+Chl, 2 = St → Ky+Grt+Chl, 3 = Grt+Chl+Ms → St+Bi, 4 = St → Ky+Bi+Grt, 6 = Grt+Chl+Ms → Ky+Bi, 7 = Tlc+Grt+Ms → Ky+Bi από Vuichard and Ballevre (1988), 5 = St+Ms → Grt+Sil+Bi από Powell and Holland (1990), 9 = Or+Ab+Qtz+H<sub>2</sub>O → L, 10 = An<sub>20</sub>+Qtz+H<sub>2</sub>O → L, 11 = Pl(An<sub>20</sub>)+Kfs+H<sub>2</sub>O → Czo+Ms+Pg+Qtz από Johannes (1985). Οι υπόλοιπες καμπύλες δύνανται στο Σχήμα 2.

**Fig.3:** P-T conditions of the high-pressure metamorphism and uplift path of the upper tectonic unit from Rhodope. Spinel Lherzolite → Garnet Lherzolite boundary is after O'Neill (1981). The curves are: Pg → Jd<sub>50</sub>+Ky from Holland (1979); Ms+Pl+Qtz → Bi+Kfs+Als+L from Thompson (1982); Prh → Zo+Grt+Qtz+H<sub>2</sub>O from Liou (1971); Cpx+Opx+Spl → Hbl+Ol, Opx+Cpx+H<sub>2</sub>O → Tr+Ol, Opx+H<sub>2</sub>O → Tlc+Ol and Tlc+Ol+H<sub>2</sub>O → Atg from Jenkins (1981). The numbers 1-11 represent the following reaction curves: 1 = Ctd → St+Grt+Chl, 2 = St → Ky+Grt+Chl, 3 = Grt+Chl+Ms → St+Bi, 4 = St → Ky+Bi+Grt, 6 = Grt+Chl+Ms → Ky+Bi, 7 = Tlc+Grt+Ms → Ky+Bi (from Vuichard and Ballevre, 1988); 5 = St+Ms → Grt+Sil+Bi from Powell and Holland (1990); 9 = Or+Ab+Qtz+H<sub>2</sub>O → L, 10 = An<sub>20</sub>+Qtz+H<sub>2</sub>O → L, 11 = Pl(An<sub>20</sub>)+Kfs+H<sub>2</sub>O → Czo+Ms+Pg+Qtz from Johannes (1985). For the other curves see Fig.2.

ση (Απ<sub>30</sub> κέντρο, Απ<sub>15</sub> άκρη). Ο κλινοζοϊσίτης αναπτύσσεται σε συμπλεκτική σύμφυση με χαλαζία και πλαγιόκλαστο, του οποίου η περιεκτικότητα σε ανορθίτη είναι ίδια με εκείνη της εξωτερικής ζώνης, σε ζωνώδεις κρυστάλλους. Και ο μοσχοβίτης αναπτύσσεται, συχνά, σε συμπλεκτική σύμφυση με πλαγιόκλαστο (Απ<sub>3-15</sub>) + χαλαζία, τόσο στα τροντγιεμιτικής όσο και στα γρανιτικής σύστασης λευκοσώματα. Στα πρώτα, ο μοσχοβίτης συνοδεύεται συνήθως από παραγονίτη και πάντοτε από συμπλεκτίτες κλινοζοϊσίτη-πλαγιοκλάστου/χαλαζία. Ανεξάρτητα από τον τρόπο με τον οποίο σχηματίσθηκαν οι συμπλεκτίτες, δηλ. είτε από αντίδραση των αστρίων με το υπόλοιπο τόγμα, κατά τη διάρκεια στερεοποίησης του ανατηκτικού μάγματος είτε από αντιδράσεις με διείσδυση νερού, σε μεταγενέστερο στάδιο, οι παραγενέσεις πλαγιόκλαστο (Απ<sub>15</sub>) + κλινοζοϊσίτης + μοσχοβίτης + παραγονίτης + χα-

λαζίας στο νεόσωμα τροντγιεμιτικής σύστασης και Κ-ούχος άστριος+ πλαγιόκλαστομοσχοβίτης+κλινοζοϊσίτης+ χαλαζίας, στο γρανιτικής σύστασης νεόσωμα, δείχνουν ότι, οι συμπλεκτίτες αυτοί σχηματίσθηκαν (για θερμοκρασίες  $\geq 600^{\circ}\text{C}$ ) σε πιέσεις μεγαλύτερες των 10Kbar, σύμφωνα με τα πειραματικά δεδομένα του Johannes (1984), (Σχ.3, καμπύλη αντίδρασης 11).

Πιέσεις μεταξύ 8-10 Kbar και θερμοκρασίες μεταξύ  $600-650^{\circ}\text{C}$  προσδιορίσθηκαν με βάση το γεωβαρόμετρο γρανάτη-πλαγιόκλαστου-κυανίτη-χαλαζία, και το γεωθερμόμετρο γρανάτη-βιοτίτη σε μεταπλήσιες της ανατολικής, κεντρικής και δυτικής Ροδόπης (Mposkos 1989a, Mposkos and Lati 1993, Lati 1986). Σε μεταπλήσιες της Κεντρικής Ροδόπης, με παραγένεση γρανάτη-πλαγιόκλαστο-σιλλιμανίτη-χαλαζία, οι πιέσεις που προσδιορίσθηκαν κυμαίνονται μεταξύ 5.5-6.5 Kbar. Οι τιμές P-T που προαναφέρθηκαν, ερμηνεύονται ως συνθήκες αναπροσαρμογής των παραγενέσεων των μεταπληλιτών κατά τη διάρκεια της ανάδυσης, από τις συνθήκες της εκλογιτικής φάσης σε εκείνες της αμφιβολιτικής. Πιέσεις της τάξεως των 9 Kbar προκύπτουν και από το σελαδονιτικό μόριο φεγγιτικών μοσχοβιτών (μέγιστη τιμή  $\text{Si}=6.6$ ), σε ορθογνεύσιους (Πίν.2).

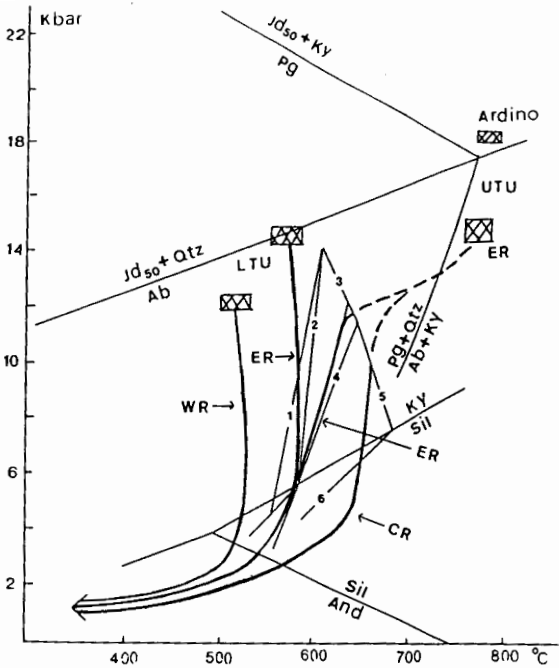
#### **Γ: Μεταμόρφωση χαμηλών πιέσεων, κατώτερης πρασινοσχιστολιθικής φάσης**

Η ανάδρομη μεταμόρφωση κατώτερης πρασινοσχιστολιθικής φάσης, επηρέασε επιλεκτικά όλες τις λιθολογίες της A.T.E. Στους μεταπλήσιες, τεκμηριώνεται με τη βλάστηση πράσινου έως καφεπράσινου βιοτίτη, σε βάρος του γρανάτη και μοσχοβίτη. Σε σπινελιούχους-γρανατούχους μεταγάββηρους της περιοχής Κύμης, τεκμηριώνεται με την αντικατάσταση του γρανάτη και σπινελίου από κορουνδοφυλλίτη, διάσπορο και πρενίτη, και του κλινοπυρόξενου και της κεροστίλβης από τρεμολίτη, χλωρίτη και πρενίτη.

#### **ΣΥΖΗΤΗΣΗ - ΣΥΜΠΕΡΑΣΜΑΤΑ DISCUSSION AND CONCLUSIONS**

Από την πετρολογική ανάλυση προκύπτουν σαφείς διαφορές σε ότι αφορά την μεταμορφική εξέλιξη μεταξύ της K.T.E. και της A.T.E. της Ροδόπης. Στην K.T.E. οι μέγιστες συνθήκες P-T της εκλογιτικής φάσης ήταν  $14-15 \text{ Kbar}$  και  $550-600^{\circ}\text{C}$  και στην A.T.E.  $13,5-16 \text{ Kbar}$  και  $750-775^{\circ}\text{C}$ . Η K.T.E. ακολούθησε μια πορεία βύθισης, με μέση αύξηση της θερμοκρασίας κατά  $11,5^{\circ}\text{C/Km}$  και η ανώτερη, κατά  $15,5^{\circ}\text{C/Km}$ . Από τα στοιχεία αυτά φαίνεται ότι, οι δύο τεκτονικές ενότητες, κατά τη βύθισή τους βρέθηκαν σε διαφορετικά γεωθερμικά πεδία. Το γεγονός αυτό πιθανά σημαίνει ότι, η μεταμόρφωση των υψηλών πιέσεων έλαβε χώρα στις δύο τεκτονικές ενότητες σε διαφορετικά τεκτονομεταμορφικά επεισόδια, αλπικό στην K.T.E., διαφορετικής ηλικίας αλπικό ή προαλπικό (:), στην A.T.E. Η αλπικής ηλικίας μεταμόρφωση για την K.T.E. ενισχύεται και από το γεγονός ότι, οι πρωτόλιθοι των ορθογνευσίων αντιπροσωπεύουν ερκύνιας ηλικίας μαγματίτες (285 Ma στη δυτική Ροδόπη, Wawrzenitz et al., 1994, 296 Ma στην ανατολική Ροδόπη, Peicheva et al., 1992b). Αντίστοιχης ηλικίας μαγματίτες από την Πελαγονική ζώνη (Yarwood and Aftalion 1976, Μουντράκης 1983, Schermer 1990), επηρεάστηκαν από αλπικής μόνο ηλικίας μεταμορφικά επεισόδια (100 Ma, 51-61 Ma, 36-40 Ma και 16-23 Ma Shermer 1990).

Ουσιώδεις διαφορές μεταξύ των δύο τεκτονικών ενοτήτων προκύπτουν και για την πορεία ανάδυσης (Σχημ.4). Η K.T.E. δείχνει μια περίπου ισόθερμη αποσυμπίεση από το μέγιστο βάθος των  $\approx 53 \text{ Km}$  μέχρι τα  $\approx 14 \text{ Km}$ , γεγονός που σημαίνει ταχεία ανάδυση. Το στάδιο αυτό της ανάδυσης, έλαβε χώρα στο Ηώκαινο, όπως δείχνουν ραδιοχρονολογήσεις K-Ar σε αμφιβόλους, από πετρώματα της δυτικής Ροδόπης (Celet et Clement 1990) και Rb-Sr σε μοσχοβίτες από ορθογνεύσιους της ανατολικής Ροδόπης (Wawrzenitz and Mposkos, in press). Οι αντιδράσεις που έλαβαν χώρα, κατά το στάδιο αυτό, ήταν κυρίως αντιδράσεις αφυδάτωσης. Σημαντική ψύξη λαμβάνει χώρα από τα 14 περίπου χιλιόμετρα μέχρι την επιφάνεια.



→  $\text{St} + \text{Grt} + \text{Chl}$ , 3 =  $\text{St} \rightarrow \text{Grt} + \text{Chl}$ , 4 =  $\text{Grt} + \text{Chl} + \text{Ms} \rightarrow \text{St} + \text{Bi}$ , 5 =  $\text{St} + \text{Ms} \rightarrow \text{Ky} + \text{Bi} + \text{Grt}$  (after Vuichard and Ballevre 1988), 6 =  $\text{St} + \text{Ms} \rightarrow \text{Grt} + \text{Sil} + \text{Bi}$  (after Powell and Holland, 1991).

#### Σχ.4:

Διάγραμμα P-T στο οποίο φαίνονται τα πεδία της μεταμόρφωσης υψηλών πιέσεων και οι πορείες ανάδυσης των δύο τεκτονικών ενοτήτων της Ροδόπης. L.T.U. = κατώτερη, U.T.U. = ανώτερη τεκτονική ενότητα. W.R. = δυτική Ροδόπη, E.R. = ανατολική Ροδόπη, C.R. = κεντρική Ροδόπη. Καμπύλες αντιδράσεων 1 =  $\text{Ctd} + \text{Ky} \rightarrow \text{St} + \text{Chl}$ , 2 =  $\text{Ctd} \rightarrow \text{St} + \text{Grt} + \text{Chl}$ , 3 =  $\text{St} \rightarrow \text{Grt} + \text{Ky} + \text{Chl}$ , 4 =  $\text{Grt} + \text{Chl} + \text{Ms} \rightarrow \text{St} + \text{Bi}$ , 5 =  $\text{St} + \text{Ms} \rightarrow \text{Ky} + \text{Bi} + \text{Grt}$  (από Vuichard and Ballevre 1988), 6 =  $\text{St} + \text{Ms} \rightarrow \text{Grt} + \text{Sil} + \text{Bi}$  (από Powell and Holland, 1991).

**Fig.4:** P-T diagram showing the fields of high-pressure metamorphism and uplift paths of the two tectonic units in Rhodope. L.T.U. = Lower tectonic unit; U.T.U. = Upper tectonic unit; W.R. = western Rhodope; E.R. = eastern Rhodope; C.R. = central Rhodope. Reaction curves: 1=Ctd+Ky → St+Chl, 2=Ctd → St+Grt+Chl, 3=St → Grt+Ky+Chl, 4=Grt+Chl+Ms → St+Bi, 5=St+Ms → Ky+Bi+Grt (από Vuichard and Ballevre 1988), 6=St+Ms → Grt+Sil+Bi (από Powell and Holland, 1991).

Ηλικίες μοσχοβιτών και βιοτιτών 12-22 Ma από τη δυτική Ροδόπη (ραδιοχρονολογικά δεδομένα Rb-Sr των Del Moro et al. 1989), δείχνουν ότι, το στάδιο αυτό της ανάδυσης διήρκησε στη δυτική Ροδόπη μέχρι το Μειόκαινο. Η πορεία ανάδυσης της A.T.E. από το μέγιστο βάθος των ≈48-57 Km μέχρι τα ≈35 Km δεν είναι απόλυτα τεκμηριωμένη. Η πορεία αυτή, φαίνεται ότι έλαβε χώρα μεταξύ Κατώτερου Κρητιδικού και Παλαιοκαίνου, όπως δείχνουν ραδιοχρονολογήσεις Rb-Sr σε μοσχοβίτη από πηγματίτη (Mposkos and Wawzenitz, 1995) και Sm-Nd σε γρανάτη-κλινοπυρόξενο-ολικό πέτρωμα από σπινελιούχο-γρανατούχο πυροξενίτη (Wawzenitz and Mposkos, in press) από την ανατολική Ροδόπη. Κατά το στάδιο αυτό η A.T.E. ακολούθησε μια πορεία με συνεχή ψύξη και όχι θέρμανση, αφού δεν έλαβε χώρα η αντίδραση  $\text{Ms} + \text{Pl} + \text{Qtz} \rightarrow \text{Bi} + \text{Kfs} + \text{Als} + \text{L}$ , (Σχ.3). Από το βάθος των ≈35 Km μέχρι τα ≈14 Km, η ανάδυση της A.T.E. ακολούθησε, στην ανατολική Ροδόπη, πορεία χαμηλοτέρων θερμοκρασιών σε σχέση με την κεντρική. Τοπικά (περιοχή Θερμών), οι θερμοκρασίες ήταν ακόμη υψηλότερες και υπερέβησαν εκείνες της αντίδρασης  $\text{Ms} + \text{Qtz} \rightarrow \text{Sil} + \text{Kfs} + \text{H}_2\text{O}$  (Mposkos 1989a, Mposkos and Liati 1993). Στην κεντρική και δυτική Ροδόπη, το στάδιο αυτό της ανάδυσης διήρκησε μέχρι το κατώτερο Ηώκαινο, όπως τεκμηριώνεται από ραδιοχρονολογήσεις K-Ar σε κεροστίλβες (Liati 1986). Στη συνέχεια, η ανάδυση ακολούθει μια πορεία, με ταχεία ψύξη, αντίστοιχη με εκείνη της K.T.E.

Είναι προφανές ότι, οι παραγενέσεις που χαρακτηρίζουν τα διάφορα στάδια ανάδυσης της A.T.E. σχηματίσθηκαν, κυρίως, από αντιδράσεις ενυδάτωσης. Τίθεται επομένως το ερώτημα της προέλευσης του νερού, που συμμετείχε σ'

αυτές τις αντιδράσεις. Μια πιθανή πηγή θα μπορούσαν να αποτελούν οι ένυδρες φάσεις, που συμμετείχαν ταυτόχρονα σε αντιδράσεις αφυδάτωσης. Αντιδράσεις αφυδάτωσης, που να έλαβαν χώρα κατά τη διάρκεια των διαφόρων σταδίων ανάδυσης της A.T.E., δεν διαπιστώθηκαν. Βέβαια, η σχετικά χαμηλή περιεκτικότητα σε σελαδονίτη στους λευκούς K-ούχους μαρμαρυγίες ( $Si = 6.2-6.6$ ), στους οποίους, για τις πιέσεις των 13,5-16 Kbar του εκλογιτικού σταδίου, αναφένονται μέγιστες τιμές  $Si$  μεταξύ 6,8-7,0 (Massonne and Schreyer 1987), πιθανώς οφείλεται στην αναπροσαρμογή τους σε χαμηλότερες πιέσεις. Η μετατροπή του φεγγίτη σε λιγότερο φεγγιτικό μοσχοβίτη εκφράζεται με την αντίδραση αφυδάτωσης: φεγγίτης → λιγότερο φεγγιτικός μοσχοβίτης+βιοτίτης+Κ-ούχος άστριος+χαλαζίας+ $H_2O$ . Η αντίδραση αυτή η οποία οδηγεί σε ελάττωση του ποσοστού του μοσχοβίτη και αύξηση εκείνου του βιοτίτη, θα μπορούσε να δικαιολογήσει την προσφορά νερού για την μερική αμφιβολιτώση των εκλογιτών και τις αντιδράσεις ενυδάτωσης που διαπιστώθηκαν στα υπερμαφικά πετρώματα κατά τα πρώτα στάδια ανάδυσης. Πρέπει όμως να τονισθεί ότι στους γνεύσιους και τους μεταπλήτες, ιδιαίτερα στην ανατολική Ροδόπη, κυριαρχεί ο μοσχοβίτης, με επιπρόσθετες φάσεις Κ-ούχο άστριο, πλαγιόκλαστο, κλινοζοϊσίτη, βιοτίτη, γρανάτη ( $Grs_0.5Alm_0.5$ ), χαλαζία, στους γνεύσιους και πλαγιόκλαστο βιοτίτη, γρανάτη, κλινοζοϊσίτη, χαλαζία, στους μεταπλήτες. Στα πετρώματα αυτά, ο μοσχοβίτης συνυπάρχει, παραγενετικά, με κλινοζοϊσίτη ή γρανάτη και σχηματίσθηκε σύμφωνα με τις αντιδράσεις:  $Pl+Kfs+H_2O \rightarrow Czo+Ms+Qtz$  και  $Clz+Kfs+H_2O \rightarrow Grt+Ms+Qtz$ , δηλαδή από αντιδράσεις ενυδάτωσης. Επί πλέον, η αντικατάσταση του κυανίτη από μοσχοβίτη, η οποία παρατηρείται συχνά στους μεταπλήτες, συνδέεται με αντιδράσεις ενυδάτωσης.

Δεύτερη πιθανή πηγή θα μπορούσε να αποτελεί το νερό, που ελευθερώνεται μετά την κρυστάλλωση των ανατηκτικών μαγμάτων, που σχηματίσθηκαν κατά το στάδιο της προϊούσας μεταμόρφωσης ή και κατά την ανάδυση. Το νερό αυτό θα μπορούσε να δικαιολογήσει τις αντιδράσεις ενυδάτωσης που έλαβαν χώρα στα πετρώματα που περιβάλλουν τα ανατηκτικά σώματα.

Ως τρίτη και ενδεχομένως πιθανότερη πηγή μπορεί να θεωρηθεί η διείσδυση νερού, στην A.T.E., από ένα υπόστρωμα λιθολογικών σχηματισμών, στο οποίο λαμβάνουν χώρα αντιδράσεις αφυδάτωσης, όπως στην περίπτωση μιας ζώνης υποβύθισης. Στην περίπτωση αυτή, μπορεί να θεωρηθεί ότι η K.T.E., (στην οποία όπως προαναφέρθηκε κυριαρχούσαν αντιδράσεις αφυδάτωσης), βυθίστηκε κάτω από την A.T.E. σε μια περίοδο μεταγενέστερη από εκείνη με την οποία συνδέεται η εκλογιτική φάση στην A.T.E.

Οι Mposkos and Liati (1993) συνδέοντας τη μεταμορφική εξέλιξη των δύο τεκτονικών ενοτήτων της Ροδόπης με ένα μόνο μεταμορφικό κύκλο, αλπικής ηλικίας, δικαιολόγησαν το διαφορετικό ρυθμό ψύξης των δύο τεκτονικών ενοτήτων, με την επώθηση της θερμότερης A.T.E. στην K.T.E. ενώ ευρίσκοντο ακόμη σε μεγάλα βάθη, γεγονός που είχε σαν αποτέλεσμα, η A.T.E. να δράσει ως θερμή προστατευτική ασπίδα για την K.T.E. Στην άποψή τους αυτή οδηγήθηκαν από τις αλπικές ηλικίες που διαπιστώθηκαν σε κεροστίλβες και μαρμαρυγίες της A.T.E. από την κεντρική και δυτική Ροδόπη. Η άποψη των Mposkos and Liati (1993) ερμηνεύει σε ικανοποιητικό βαθμό την πορεία ανάδυσης της K.T.E. όπως και την πορεία ανάδυσης της A.T.E. από το βάθος των ≈35 Km, μέχρι και την επιφάνεια (Σχ.4). Πράγματι, από τα ≈35 Km η A.T.E. ακολούθησε μια πορεία ταχείας ανάδυσης, με συνεχή ψύξη, αφού κατά το διάστημα αυτό δεν δέχονταν θερμότητα από το υπόβαθρό της, το οποίο ήταν ψυχρότερο. Για το τμήμα της πορείας ανάδυσης από τα ≈48-57 Km μέχρι τα ≈35 Km, πρέπει να δεχθούμε βραδύ ρυθμό ανάδυσης, δεδομένου ότι, κατά το διάστημα αυτό ψύχθηκε κατά 100-130°C, ενώ από το βάθος των ≈35 Km μέχρι τα 14 Km ψύχθηκε μόνο κατά 50°C. Πιθανώς, η πορεία ανάδυσης της A.T.E. από το μέγιστο βάθος των ≈48-57 Km μέχρι τα ≈35 Km εκφράζει την ισοστατική Ψηφιακή Βιβλιοθήκη "Θεόφραστος" - Τμήμα Γεωλογίας. Α.Π.Θ.

και θερμική αναπροσαρμογή της, μετά το μεταμορφικό επεισόδιο των υψηλών πιέσεων, το οποίο δεν φαίνεται να ταυτίζεται χρονικά με τη μεταμόρφωση της εκλογιτικής φάσης που έλαβε χώρα στην K.T.E., μια άποψη η οποία μπορεί να επιβεβαιωθεί μόνο με ραδιοχρονολόγηση της μεταμόρφωσης των υψηλών πιέσεων στις δύο τεκτονικές ενότητες.

Πρόσφατη ραδιοχρονολόγηση Sm-Nd γρανάτη-κλινοπυρόξενου-ολικού πετρώματος από σπινελιούχο-γρανατούχο πυροξενίτη της A.T.E., στην ανατολική Ροδόπη, έδειξε ότι, η μεταμόρφωση των υψηλών πιέσεων έλαβε χώρα στο Κατώτερο Κρητιδικό (Wawrzernitz and Mposkos, *in press*). Η μεταμόρφωση των μεσαίων πιέσεων, αμφιβολιτικής φάσης, έλαβε χώρα στο Παλαιόκαινο (65 Μα ηλικία Rb-Sr μοσχοβίτη σε πηγαδίτη, που συνδέεται γενετικά με τη μεταμόρφωση της αμφιβολιτικής φάσης, Mposkos and Wawrzernitz, 1995). Στην K.T.E. της ανατολικής Ροδόπης, η μεταμόρφωση των μεσαίων πιέσεων είναι πολύ νεότερη (37-39 Μα Rb-Sr σε μοσχοβίτες ορθογνευσίων, Wawrzernitz and Mposkos, *in press*, Peicheva et al., 1992a) από εκείνη των 65 Μα που διαπιστώθηκε στην A.T.E. Επομένως, δεν αποκλείεται, η μεταμόρφωση της αμφιβολιτικής και στη συνέχεια της πρασινοσχιστολιθικής φάσης στην A.T.E. να συνδέεται χρονικά με το στάδιο της βύθισης της K.T.E. κάτω από την A.T.E. Οι αντιδράσεις αφυδάτωσης που έλαβαν χώρα κατά τη βύθιση της K.T.E., συνδιαζόμενες και με εκείνες που χαρακτηρίζουν το μεγαλύτερο τμήμα ανάδυσής της, θα μπορούσαν να προσφέρουν ικανές ποσότητες νερού που απαιτούνται για να δικαιολογήσουν την ανάδρομη μεταμόρφωση που χαρακτηρίζει την A.T.E.

Στην ανατολική Ροδόπη, η K.T.E. περιβάλλεται από την υπερκείμενη A.T.E. και εμφανίζεται υπό μορφή τεκτονικού παραθύρου (Σχ. 1). Ανάλογες απόψεις έχουν εκφραστεί κατά περιόδους και για την "ενότητα Παγγαίου" (Papanikolaou, 1984), η οποία αποτελεί το δυτικό τμήμα της K.T.E. στη Ροδόπη.

#### **ΒΙΒΛΙΟΓΡΑΦΙΑ - REFERENCES**

- ARNAUDOV, V., AMOV, B., CHERNEVA, A., ARNAUDOVA, R., PAVLOVA, M. and BARTITSKY, E., (1990): Petrological-geochemical and lead isotope evidence of Alpine metamorphism in the Rhodope crystalline complex. *Geol.Balc.* 20 (5), 29-44.
- BOHLEN, S.R., MONTANA, A. and KERRICK, D.M., (1991): Precise determinations of the equilibria kyanite-sillimanite and kyanite-andalusite and a revised triple point for  $Al_2SiO_5$  polymorphs. *Amer.Mineral.* 76, 677-680.
- BURG, J.P., IVANOV, Z., RICOU,L.E., DIMOR, D. and KLAIN, L., (1990): Implications of shear-sense criteria for the tectonic evolution of the central Rhodope massif, southern Bulgaria. *Geology* 18, 451-454.
- CARMAN, S.H. and GILBERT, M.C., (1983): Experimental studies on glaucophane stability. *Am.J.Sci.* 283A, 414-437.
- CELET et CLEMENT (1991): Sur l' age de quelques amphibolites du Rhodope Grec. *Bull.Geol.Soc.Greece.* V.25/1, 163-170.
- CHATTERJEE, N.D., (1972): The upper stability of the assemblage paragonite+quartz and its natural occurrences. *Contrib.Mineral.Petrol.* 34, 288-303.
- CHATTERJEE, N.D., JOHANNES, W. and LEISTNER, N., (1984): The system  $CaO-Al_2O_3-SiO_2-H_2O$ : new phase equilibria data, some calculated phase relations, and their petrological applications. *Contrib.Mineral.Petrol.* 88, 1-13.
- DEL MORO, A., KYRIAKOPOULOS, K., PEZZINO, A., ATZORI, P. and LO GIUDICE, A., (1990): The metamorphic complex associated to the Kavala plutonites: An Rb-Sr geochronological, petrological and structural study. *Geologica Rhodopica* V.2, 143-156, Thessaloniki.
- ELLIS, D.J. and GREEN, D.H., (1979): An experimental study of the effect of Ca upon garnet-clinopyroxene Fe-Mg exchange equilibria. *Contrib.Mineral. Petrol.* 71, 13-22.

- GASPARIK, T. and LINDSLEY, D.H., (1981): Phase equilibria at high pressures of pyroxenes containing monovalent and trivalent ions. In MSA, Reviews in Mineralogy, 7. Pyroxenes p.p. 309-339.
- HOLLAND, T.J.B., (1979): Experimental determination of the reaction: Paragonite = jadeite+kyanite+H<sub>2</sub>O, with applications to eclogites and blueschists. Contrib.Mineral.Petrol. 68, 293-301.
- IVANOV, Z., (1988): Apercu generale sur l' evolution geologique et structurale du massif des Rhodopes dans le cadre des Bakanides. Bull.Soc.Geol. France 8, IV(2), 227-240.
- JENKINS, D.M., (1981): Experimental phase relations of hydrous peridotites modelled in the system H<sub>2</sub>O-CaO-MgO-Al<sub>2</sub>O<sub>3</sub>-SiO<sub>2</sub>. Contrib.Mineral.Petrol. 77, 166-176.
- JENKINS, D.M., (1983): Stability and composition relations of calcic amphiboles in ultramafic rocks. Contrib.Mineral.Petrol. 83, 375-384.
- JOHANNES, W., (1985): The significance of experimental studies for the formation of migmatites. In Ashworth (ed.). Migmatites, 36-85, Blackie, New York.
- KILLIAS, A. and MOUNTRAKIS, D., (1990): Kinematics of the crystalline sequences in the western Rhodope massif: Geologica Rhodopica, V.2, 100-116. Thessaloniki.
- KOLCEVA, V., ZELJAZKOVA-PANAJOTOVA, M., BUBRECOV, N.L. and STOJANOVA, V., (1986): Eclogites in Central Rhodope metamorphic group and their retrograde metamorphism. Geochem.Mineral. and Petrol. Sofia, 20/21, 130-144.
- KOUKOUVELAS, J. and DOUTSOS, T., (1990): Tectonic stages along a traverse cross cutting the Rhodopean zone (Greece). Geol.Rundsch. 79 (3) 753-776.
- LIATTI, A. (1986): Regional metamorphism and overprinting contact metamorphism of the Rhodope zone, near Xanthi N.Greece: Petrology, Geochemistry, Geochronology. Ph.D.thesis, Techn.Univ.Braunschweig.
- LIATTI, A. and MPOSKOS, E., (1990): Evolution of the eclogites in the Rhodope zone of northern Greece. Lithos, 25, 89-99.
- LIOU, J.G., (1971): Synthesis and stability relations of prehnite Ca<sub>3</sub>Al<sub>2</sub>Si<sub>3</sub>O<sub>10</sub>(OH)<sub>2</sub>. Amer.Mineral. 56, 507-531.
- MARUYAMA, S., SUZUKI, K. and LIOU, J.G., (1983): Greenschist-amphibolite transition equilibria at low pressures. J.Petrol. 24, 583-604.
- MASSONNE, H.J. and SCHREYER, W., (1987): Phengite geobarometry based on the limiting assemblage with K-feldspar, phlogopite and quartz. Contrib.Mineral.Petrol. 96, 219-224.
- MPOSKOS, E., (1987): Polymetamorphism in Central and East Rhodope Massif. Geologica Rhodopica. V.1, 153-159. Sofia.
- MPOSKOS, E., (1989a): The metamorphic evolution of East and Central Rhodope. In: IGME-EEC, "New concept in mineral exploration philosophy and their use in the study of different types of polymetallic mineralization in the Rhodope region, Greece". V.2, 37-86, IGME, Athens.
- MPOSKOS, E., (1989b): Metamorphic evolution of the lower tectonic unit of E.Rhodope (N.Greece), based on metabasite petrology. 4th Congress of Carpatho-Balkan Geol. Assoc.Sofia 1.1 Mineralogy 317-320.
- MPOSKOS, E., (1989c): High-pressure metamorphism in gneisses and pelitic schists in the East Rhodope Zone (N.Greece). Mineral.Petrol, 41, 25-39.
- MPOSKOS, E. and PERDIKATSIS, V., (1987): Eclogite-amphibolites in East Rhodope Massif. Geoloigca Rhodopica. V1, 160-168. Sofia.
- MPOSKOS, E., LIATTI, A., KATAGAS, Ch. and ARVANITIDES, N. (1990): Petrology of the metamorphic rocks of western Rhodope, Drama area, N.Greece. Geological Rhodopica, V.2, 127-142. Thessaloniki.

- MPOSKOS, E. and LIATI, A., (1993): Metamorphic evolution of metapelites in the high-pressure terrane of the Rhodope zone, Northern Greece. *Can. Mineral.*, 31, 401-424,
- ΜΠΟΣΚΟΣ, Ε. και ΛΙΑΤΗ, Α., (1993): Η συμβολή της πετρολογίας των μεταμορφωμένων σχηματισμών στην κατανόηση της γεωδυναμικής εξέλιξης της βορειοανατολικής Ελλάδας τα τελευταία 40 χρόνια - Μελλοντικές προοπτικές. Ελλ.Γεωλ.Εταιρεία. Ειδικές δημοσιεύσεις. N. 2, 147-154.
- ΜΠΟΣΚΟΣ, Ε., ΠΕΡΔΙΚΑΤΗΣ, Β. και ΗΛΙΑΔΗΣ, Α. (1994): Πετρολογία των μεταμορφωμένων υπερμαφικών πετρωμάτων της ανώτερης τεκτονικής ενότητας στην ανατολική Ροδόπη. Συμβολή στη μεταμορφική εξέλιξη της Ροδοπικής ζώνης. 7ο Συνέδριο Ελλ.Γεωλ.Εταιρείας Θεσ/νίκη. Υπό δημοσίευση.
- MPOSKOS, E. and WAWRZENITZ, N. (1995): Metapegmatites and pegmatites bracketing the time of HP-metamorphism in polymetamorphic rocks of the E-Rhodope, N.Greece: Petrological and geochronological constraints. *Geol.Soc.Greece. Special Publications*. N.4/2, 602-608.
- ΜΟΥΝΤΡΑΚΗΣ, Δ., (1983): Η γεωλογική δομή της βόρειας Πελαγονικής ζώνης και η γεωτεκτονική εξέλιξη των εσωτερικών Ελληνίδων. Πραγματεία Υφηγεσίας. Παν/μιο Θεσσαλονίκης, 289 σ.
- O'NEILL, H. (1981): The transition between spinel lherzolite and garnet lherzolite and its use as a geobarometer. *Contrib.Mineral.Petrol.* 77, 185-194.
- PAPANIKOLAOU, D., (1984): The three metamorphic belts of the Hellenides: a review and a kinematic interpretation. In J.Dixon and A.H.F.Robertson (eds): The geological evolution of eastern Mediterranean. Blackwell Scient.Publications, 551-561.
- ΠΑΠΑΝΙΚΟΛΑΟΥ, Δ., (1993): Οι απόψεις για τη γεωτεκτονική και παλαιογεωγραφική εξέλιξη της κεντρικής Ελλάδας και του Αιγαίου τα τελευταία 40 χρόνια. Ελλ.Γεωλ.Εταιρεία. Ειδικές δημοσιεύσεις. N.2, 69-86.
- PEITCHEVA, J.M., KOSTITSIN, JA. And SHUKOLYKOV, J.A. (1992): Rb-Sr isotope system of gneisses in the south-eastern Rhodopes (Bulgaria). *Comptes rendus de l' Academie Bulgare des Sciences*. T.45, No 10, 65-68 (In Russian).
- PEITCHEVA, J.M., BIBIKOVA, E.V. and MAKAROV, V. (1992): U-Pb isotope dating of zircons from two types of gneisses in southeastern Rhodope Mountains (Bulgaria). *Comptes rendus de l' Academie Bulgare des Sciences*. T.45, N8, 71-74 (In Russian).
- POWELL, R. and HOLLAND, T., (1990): Calculated Mineral equilibria in the pelite system, KFMASH ( $K_2O$ - $FeO$ - $MgO$ - $Al_2O_3$ - $SiO_2$ - $H_2O$ ). *Amer.Mineral.* 75, 367-380.
- SHERMER, E.R., (1990): Temperature-time history of subducted continental crust, Mount Olympos region Greece. *Tectonics*, 9, N.5, 1165-1195.
- SPEAR, S.F. and CHENEY, T.J., (1989): A petrogenetic grid for pelitic schists in the system  $SiO_2$ - $Al_2O_3$ - $FeO$ - $MgO$ - $K_2O$ - $H_2O$ . *Contrib.Mineral. Petrol.* 101, 149-164.
- THOMPSON, A.B., (1982): Dehydration melting of pelitic rocks and the generation of  $H_2O$ -undersaturated granitic liquids. *Am.J.Sci.* 282, 1567-1595.
- TRACY, R.J., (1982): Compositional zoning and inclusions in metamorphic minerals. In Ferry (ed.). Characterisation of metamorphism through mineral equilibria. *M.S.A. Reviews in Mineralogy*, 10, 355-397.
- VUICHARD, J.P. and BALLEVRE, M., (1988): Garnet-chloritoid equilibria in eclogitic pelitic rocks from the Sezia zone (Western Alps): their bearing on phase relations in high pressure metapelites. *J.Metamorph.Geol.* 6, 135-157.
- WAWRZENITZ, N., BAUMANN, A. and NOLLAU, G., (1992): Preliminary results of U-Pb geochronology of pelitic rocks from the Western Alps. *Geol.Soc.Greece. Special Publications*. N.4/2, 609-618.
- Ψηφιακή Βιβλιοθήκη "Θεόφραστος" - Τμήμα Γεωλογίας. Α.Π.Θ.

και θερμική αναπροσαρμογή της, μετά το μεταμορφικό επεισόδιο των υψηλών πιέσεων, το οποίο δεν φαίνεται να ταυτίζεται χρονικά με τη μεταμόρφωση της εκλογιτικής φάσης που έλαβε χώρα στην K.T.E., μια άποψη η οποία μπορεί να επιβεβαιωθεί μόνο με ραδιοχρονολόγηση της μεταμόρφωσης των υψηλών πιέσεων στις δύο τεκτονικές ενότητες.

Πρόσφατη ραδιοχρονολόγηση Sm-Nd γρανάτη-κλινοπυρόξενου-ολικού πετρώματος από σπινελιούχο-γρανατούχο πυροξενίτη της A.T.E., στην ανατολική Ροδόπη, έδειξε ότι, η μεταμόρφωση των υψηλών πιέσεων έλαβε χώρα στο Κατώτερο Κρητιδικό (Wawrzernitz and Mposkos, in press). Η μεταμόρφωση των μεσαίων πιέσεων, αμφιβολιτικής φάσης, έλαβε χώρα στο Παλαιόκαινο (65 Ma ηλικία Rb-Sr μοσχοβίτη σε πηγατίτη, που συνδέεται γενετικά με τη μεταμόρφωση της αμφιβολιτικής φάσης, Mposkos and Wawzenitz, 1995). Στην K.T.E. της ανατολικής Ροδόπης, η μεταμόρφωση των μεσαίων πιέσεων είναι πολύ νεότερη (37-39 Ma Rb-Sr σε μοσχοβίτες ορθογνευσίων, Wawzenitz and Mposkos, in press, Peicheva et al., 1992a) από εκείνη των 65 Ma που διαπιστώθηκε στην A.T.E. Επομένως, δεν αποκλείεται, η μεταμόρφωση της αμφιβολιτικής και στη συνέχεια της πρασινοσχιστολιθικής φάσης στην A.T.E. να συνδέεται χρονικά με το στάδιο της βύθισης της K.T.E. κάτω από την A.T.E. Οι αντιδράσεις αφυδάτωσης που έλαβαν χώρα κατά τη βύθιση της K.T.E., συνδιαζόμενες και με εκείνες που χαρακτηρίζουν το μεγαλύτερο τμήμα ανάδυσής της, θα μπορούσαν να προσφέρουν ικανές ποσότητες νερού που απαιτούνται για να δικαιολογήσουν την ανάδρομη μεταμόρφωση που χαρακτηρίζει την A.T.E.

Στην ανατολική Ροδόπη, η K.T.E. περιβάλλεται από την υπερκείμενη A.T.E. και εμφανίζεται υπό μορφή τεκτονικού παραθύρου (Σχ. 1). Ανάλογες απόψεις έχουν εκφραστεί κατά περιόδους και για την "ενότητα Παγγαίου" (Papanikolaou, 1984), η οποία αποτελεί το δυτικό τμήμα της K.T.E. στη Ροδόπη.

#### **ΒΙΒΛΙΟΓΡΑΦΙΑ - REFERENCES**

- ARNAUDOV, V., AMOV, B., CHERNEVA, A., ARNAUDOVA, R., PAVLOVA, M. and BARTITSKY, E., (1990): Petrological-geochemical and lead isotope evidence of Alpine metamorphism in the Rhodope crystalline complex. Geol.Balc. 20 (5), 29-44.
- BOHLEN, S.R., MONTANA, A. and KERRICK, D.M., (1991): Precise determinations of the equilibria kyanite-sillimanite and kyanite-andalusite and a revised triple point for  $Al_2SiO_5$  polymorphs. Amer.Mineral. 76, 677-680.
- BURG, J.P., IVANOV, Z., RICOU,L.E., DIMOR, D. and KLAIN, L., (1990): Implications of shear-sense criteria for the tectonic evolution of the central Rhodope massif, southern Bulgaria. Geology 18, 451-454.
- CARMAN, S.H. and GILBERT, M.C., (1983): Experimental studies on glaucophane stability. Am.J.Sci. 283A, 414-437.
- CELET et CLEMENT (1991): Sur l' age de quelques amphibolites du Rhodope Grec. Bull.Geol.Soc.Greece. V.25/1, 163-170.
- CHATTERJEE, N.D., (1972): The upper stability of the assemblage paragonite+quartz and its natural occurrences. Contrib.Mineral.Petrol. 34, 288-303.
- CHATTERJEE, N.D., JOHANNES, W. and LEISTNER, N., (1984): The system  $CaO-Al_2O_3-SiO_2-H_2O$ : new phase equilibria data, some calculated phase relations, and their petrological applications. Contrib.Mineral.Petrol. 88, 1-13.
- DEL MORO, A., KYRIAKOPOULOS, K., PEZZINO, A., ATZORI, P. and LO GIUDICE, A., (1990): The metamorphic complex associated to the Kavala plutonites: An Rb-Sr geochronological, petrological and structural study. Geologica Rhodopica V.2, 143-156, Thessaloniki.
- ELLIS, D.J. and GREEN, D.H., (1979): An experimental study of the effect of Ca upon garnet-clinopyroxene Fe-Mg exchange equilibria. Contrib.Mineral. Petrol. 71, 13-22.

- GASPARIK, T. and LINDSLEY, D.H., (1981): Phase equilibria at high pressures of pyroxenes containing monovalent and trivalent ions. In MSA, Reviews in Mineralogy, 7. Pyroxenes p.p. 309-339.
- HOLLAND, T.J.B., (1979): Experimental determination of the reaction: Paragonite = jadeite+kyanite+H<sub>2</sub>O, with applications to eclogites and blueschists. Contrib.Mineral.Petrol. 68, 293-301.
- IVANOV, Z., (1988): Apercu generale sur l' evolution geologique et structurale du massif des Rhodopes dans le cadre des Bakanides. Bull.Soc.Geo. France 8, IV(2), 227-240.
- JENKINS, D.M., (1981): Experimental phase relations of hydrous peridotites modelled in the system H<sub>2</sub>O-CaO-MgO-Al<sub>2</sub>O<sub>3</sub>-SiO<sub>2</sub>. Contrib.Mineral.Petrol. 77, 166-176.
- JENKINS, D.M., (1983): Stability and composition relations of calcic amphiboles in ultramafic rocks. Contrib.Mineral.Petrol. 83, 375-384.
- JOHANNES, W., (1985): The significance of experimental studies for the formation of migmatites. In Ashworth (ed.). Migmatites, 36-85, Blackie, New York.
- KILLIAS, A. and MOUNTAKIS, D., (1990): Kinematics of the crystalline sequences in the western Rhodope massif: Geologica Rhodopica, V.2, 100-116. Thessaloniki.
- KOLCEVA, V., ZELJAZKOVA-PANAJO TOVA, M., BUBRECOV, N.L. and STOJANOVA, V., (1986): Eclogites in Central Rhodope metamorphic group and their retrograde metamorphism. Geochem.Mineral. and Petrol. Sofia, 20/21, 130-144.
- KOUKOUVELAS, J. and DOUTSOS, T., (1990): Tectonic stages along a traverse cross cutting the Rhodopean zone (Greece). Geol.Rundsch. 79 (3) 753-776.
- LIATI, A. (1986): Regional metamorphism and overprinting contact metamorphism of the Rhodope zone, near Xanthi N.Greece: Petrology, Geochemistry, Geochronology. Ph.D.thesis, Techn.Univ.Braunschweig.
- LIATI, A. and MPOSKOS, E., (1990): Evolution of the eclogites in the Rhodope zone of northern Greece. Lithos, 25, 89-99.
- LIOU, J.G., (1971): Synthesis and stability relations of prehnite Ca<sub>3</sub>Al<sub>2</sub>Si<sub>3</sub>O<sub>10</sub>(OH)<sub>2</sub>. Amer.Mineral. 56, 507-531.
- MARUYAMA, S., SUZUKI, K. and LIOU, J.G., (1983): Greenschist-amphibolite transition equilibria at low pressures. J.Petrol. 24, 583-604.
- MASSONNE, H.J. and SCHREYER, W., (1987): Phengite geobarometry based on the limiting assemblage with K-feldspar, phlogopite and quartz. Contrib.Mineral.Petrol. 96, 219-224.
- MPOSKOS, E., (1987): Polymetamorphism in Central and East Rhodope Massif. Geologica Rhodopica. V.1, 153-159. Sofia.
- MPOSKOS, E., (1989a): The metamorphic evolution of East and Central Rhodope. In: IGME-EEC, "New concept in mineral exploration philosophy and their use in the study of different types of polymetallic mineralization in the Rhodope region, Greece". V.2, 37-86, IGME, Athens.
- MPOSKOS, E., (1989b): Metamorphic evolution of the lower tectonic unit of E.Rhodope (N.Greece), based on metabasite petrology. 4th Congress of Carpatho-Balkan Geol. Assoc.Sofia 1.1 Mineralogy 317-320.
- MPOSKOS, E., (1989c): High-pressure metamorphism in gneisses and pelitic schists in the East Rhodope Zone (N.Greece). Mineral.Petrol, 41, 25-39.
- MPOSKOS, E. and PERDIKATSIS, V., (1987): Eclogite-amphibolites in East Rhodope Massif. Geoloigca Rhodopica. V1, 160-168. Sofia.
- MPOSKOS, E., LIATI, A., KATAGAS, Ch. and ARVANITIDES, N. (1990): Petrology of the metamorphic rocks of western Rhodope, Drama area, N.Greece. Geological Rhodopica, V.2, 127-142. Thessaloniki.

Ψηφιακή Βιβλιοθήκη "Θεόφραστος" - Τμήμα Γεωλογίας. Α.Π.Θ.

- MPOSKOS, E. and LIATI, A., (1993): Metamorphic evolution of metapelites in the high-pressure terrane of the Rhodope zone, Northern Greece. *Can. Mineral.*, 31, 401-424,
- ΜΠΟΣΚΟΣ, Ε. και ΛΙΑΤΗ, Α., (1993): Η συμβολή της πετρολογίας των μεταμορφωμένων σχηματισμών στην κατανόηση της γεωδυναμικής εξέλιξης της βορειοανατολικής Ελλάδας τα τελευταία 40 χρόνια - Μελλοντικές προοπτικές. *Ελλ.Γεωλ.Εταιρεία*. Ειδικές δημοσιεύσεις. N. 2, 147-154.
- ΜΠΟΣΚΟΣ, Ε., ΠΕΡΔΙΚΑΤΗΣ, Β. και ΗΛΙΑΔΗΣ, Α. (1994): Πετρολογία των μεταμορφωμένων υπερμαφικών πετρωμάτων της ανώτερης τεκτονικής ενότητας στην ανατολική Ροδόπη. Συμβολή στη μεταμορφική εξέλιξη της Ροδοπικής ζώνης. 7ο Συνέδριο Ελλ.Γεωλ.Εταιρείας Θεσ/νίκη. Υπό δημοσίευση.
- MPOSKOS, E. and WAWRZENITZ, N. (1995): Metapegmatites and pegmatites bracketing the time of HP-metamorphism in polymetamorphic rocks of the E-Rhodope, N.Greece: Petrological and geochronological constraints. *Geol.Soc.Greece. Special Publications*. N.4/2, 602-608.
- ΜΟΥΝΤΡΑΚΗΣ, Δ., (1983): Η γεωλογική δομή της βόρειας Πελαγονικής ζώνης και η γεωτεκτονική εξέλιξη των εσωτερικών Ελληνίδων. Πραγματεία Υφηγεσίας. Παν/ μιο Θεσσαλονίκης, 289 σ.
- O'NEILL, H. (1981): The transition between spinel lherzolite and garnet lherzolite and its use as a geobarometer. *Contrib.Mineral.Petrol.* 77, 185-194.
- PAPANIKOLAOU, D., (1984): The three metamorphic belts of the Hellenides: a review and a kinematic interpretation. In J.Dixon and A.H.F.Robertson (eds): The geological evolution of eastern Mediterranean. Blackwell Scient.Publications, 551-561.
- ΠΑΠΑΝΙΚΟΛΑΟΥ, Δ., (1993): Οι απόψεις για τη γεωτεκτονική και παλαιογεωγραφική εξέλιξη της κεντρικής Ελλάδας και του Αιγαίου τα τελευταία 40 χρόνια. *Ελλ.Γεωλ.Εταιρεία*. Ειδικές δημοσιεύσεις. N.2, 69-86.
- PEITCHAVA, J.M., KOSTITSIN, JA. And SHUKOLYKOV, J.A. (1992): Rb-Sr isotope system of gneisses in the south-eastern Rhodopes (Bulgaria). *Comptes rendus de l' Academie Bulgare des Sciences*. T.45, No 10, 65-68 (In Russian).
- PEITCHAVA, J.M., BIBIKOVA, E.V. and MAKAROV, V. (1992): U-Pb isotope dating of zircons from two types of gneisses in southeastern Rhodope Mountains (Bulgaria). *Comptes rendus de l' Academie Bulgare des Sciences*. T.45, N8, 71-74 (In Russian).
- POWELL, R. and HOLLAND, T., (1990): Calculated Mineral equilibria in the pelite system, KFMASH ( $K_2O$ - $FeO$ - $MgO$ - $Al_2O_3$ - $SiO_2$ - $H_2O$ ). *Amer.Mineral.* 75, 367-380.
- SHERMER, E.R., (1990): Temperature-time history of subducted continental crust, Mount Olympus region Greece. *Tectonics*, 9, N.5, 1165-1195.
- SPEAR, S.F. and CHENEY, T.J., (1989): A petrogenetic grid for pelitic schists in the system  $SiO_2$ - $Al_2O_3$ - $FeO$ - $MgO$ - $K_2O$ - $H_2O$ . *Contrib.Mineral. Petrol.* 101, 149-164.
- THOMPSON, A.B., (1982): Dehydration melting of pelitic rocks and the generation of  $H_2O$ -undersaturated granitic liquids. *Am.J.Sci.* 282, 1567-1595.
- TRACY, R.J., (1982): Compositional zoning and inclusions in metamorphic minerals. In Ferry (ed.). Characterisation of metamorphism through mineral equilibria. M.S.A. Reviews in Mineralogy, 10, 355-397.
- VUICHARD, J.P. and BALLEVRE, M., (1988): Garnet-chloritoid equilibria in eclogitic pelitic rocks from the Sezia zone (Western Alps): their bearing on phase relations in high pressure metapelites. *J.Metamorph.Geol.* 6, 135-157.
- WAWRZENITZ, N., BAUMANN, A. and NOLLAU, G., (1992): Preliminary results of U-Pb geochronology of pelitic rocks from the Western Alps. *Geol. Soc. America Special Paper*, 267, 1-12.
- Ψηφιακή Βιβλιοθήκη "Θεόφραστος" - Τμήμα Γεωλογίας. Α.Π.Θ.

- Pb- and Rb-Sr- investigations on metamorphic rocks of Thassos, Pangaeon complex, Northern Greece. 6th Cong. Geol. Soc. Greece. Abstracts. 128-129.
- WAWRZENITZ, N., BAUMANN, A. and NOLLAU, G., (1994): Miocene uplift of mid-crustal rocks in the Rhodope metamorphic core complex, caused by late alpine extension of previously thickened crust (Thassos island, Pangaeon complex, Northern Greece: 7th Cong. Geol. Soc. Greece. Abstracts 74-75.
- WAWRZENITZ, N. and MPOSKOS, E., (1996): First evidence for Lower Cretaceous HP-HT-metamorphism in the Eastern Rhodope, North Aegean Region, North-East-Greece. Eur.J. Mineral. In press.
- YARWOOD, G.A. and AFTALION, M., (1976): Field relations and U-Pb geochronology of a granite from the Pelagonia zone of the Hellenides (High Pieria, Greece). Soc. Geol. France Bull., 18, 259-264.